

## Evaluation of actual evapotranspiration estimations of GLEAM model and GRACE satellite in the Gharehsu-Gorganrud basin

Amirhosein Pirmoon<sup>1</sup>, Nozar Ghahreman<sup>2\*</sup>

<sup>1</sup> Department of Irrigation and Reclamation Engineering, College of Agriculture, University of Tehran, Karaj, Iran

<sup>2</sup> Department of Irrigation and Reclamation Engineering, College of Agriculture, University of Tehran, Karaj, Iran

### Extended Abstract

#### Introduction

Improving water efficiency in agriculture, especially in the face of global warming, requires an accurate estimation of evapotranspiration. The Gharehsu-Gorganrud Watershed with its complex topography is located in the Golestan province, in northern Iran. Remote sensing methods can provide an acceptable estimation of ET in large areas with inadequate ground observations. However, these methods have lower accuracy than ground-based techniques and require regional validation using water balance or lysimeter approaches. Selecting suitable satellite datasets for water management planning in a specific study area is a fundamental challenge that needs validation through physical methods and ground data. Previous studies show that the GLEAM model, which is based on satellite data provides reliable outputs for the Karkheh basin, in western Iran, and can be used as an alternative to empirical and conventional methods for estimating crop water requirements. Gharekhani et al. (2020) investigated the uncertainty of actual evapotranspiration in the Gharehsu-Gorganrud basin using two climate databases and a remote sensing-based model. The study demonstrated that the ERA-Interim, GLEAM, and ETPT-JPL databases performed well in reducing uncertainty. Another study by Hafezparast et al. (2022) utilized GRACE satellite data to monitor changes in groundwater levels in the Mianrahān aquifer, revealing critical conditions in some aquifers. Overall, the research aimed to investigate the uncertainty in actual evapotranspiration estimates using GRACE satellite data and climate databases in the Gharehsu-Gorganrud Basin.

#### Materials and Methods

The study area is the Gharehsu-Gorganrud basin which is a sub-basin of the main Caspian Sea Basin. The meteorological data used in this study were collected from synoptic stations of Iran's meteorological organization. These data included average, minimum, and maximum temperature, relative humidity, precipitation, wind speed, and total sunshine hours. The satellite-derived data provide estimates of actual evapotranspiration, as a key variable for this study. However, to compare these estimates with the Penman-Monteith equation (FAO 56 PM) and determine the potential evapotranspiration, we need to consider the vegetation cover factor specific to the target crop of wheat. Hence, remote sensing techniques were employed to retrieve and acquire satellite images exclusively for the wheat fields, allowing us to accurately calculate the potential evapotranspiration by multiplying the actual evapotranspiration by the corresponding vegetation cover factor. The Global Land Evaporation Amsterdam Model (GLEAM) is an algorithm that estimates various components of evaporation and transpiration using satellite observations. The model outputs include potential evaporation, root zone soil moisture, surface soil moisture, and evaporative stress. This model utilizes solar radiation and temperature data to calculate potential evapotranspiration and multiplies it by the evaporative stress to obtain actual evaporation. The data are available on a daily, monthly, and yearly basis, and the grids are divided into 0.25-degree geographical resolutions. GRACE satellite data is obtained from the GRACE spacecraft, measuring changes in Earth's gravity field due to water variations. These data, along with ground-based information like precipitation and runoff, enable the calculation of actual evapotranspiration. By assuming a water balance for a specific watershed and utilizing variables such as precipitation, runoff, and  $\Delta S$  from GRACE, actual evapotranspiration can be determined.

#### Results and Discussion

Based on the comparisons, the best-performance GLEAM model was obtained at the Rezvan station, with an elevation of 1447 meters, a dominant agricultural land use pattern, with statistical metrics of RMSE=0.32, MAE=0.30, R<sup>2</sup> of 0.78, and MAPE =13.67. The lowest agreement was related to the "Kalaleh" station, with an elevation of 127 meters, a non-agricultural land use pattern, and statistical indices of RMSE =0.77, MAE =0.60, R<sup>2</sup>=0.49, and MAPE =18.05. Overall, the results indicate that estimating evapotranspiration using the Penman-Monteith FAO equation performs better in high-elevation areas with agricultural land use patterns, while it yields less reliable results in low-elevation areas with non-agricultural land use patterns. The study by Gharekhani et al. (2020) also showed that the GLEAM model exhibits less uncertainty at elevations between 1400 and 1800 meters



above sea level and in areas with agricultural land use patterns. For more precise explanations, further examination of the environment and comparison with field data are required. Based on the conducted comparisons, the best GRACE performance is associated with the "Rezvan" station, which has a drier climate compared to other stations, and statistical indices of 0.41 RMSE, 0.38 MAE, 0.66 R<sup>2</sup>, and 17.46 MAPE. The worst performance is related to the "Kalaleh" station, with an elevation of 127 meters, non-agricultural land use pattern, and statistical indices of 0.91 RMSE, 0.77 MAE, 0.45 R<sup>2</sup>, and 23.17 MAPE.

### Conclusions

The use of satellite imagery can provide broader insights into various topics. In this study, the estimation of actual evapotranspiration was conducted using GRACE satellite data and the GLEAM model in the Gharehsu-Gorganrud region of Golestan province. The FAO Penman-Monteith equation was employed for evapotranspiration calculation. The results indicated that the best estimations belong to the Rezvan station, while the worst-case performance was observed at the Kalaleh station in estimating evapotranspiration based on the FAO Penman-Monteith equation and GLEAM data. More precise information on land cover maps in the region for ET estimation using vegetation cover dependent coefficients is necessary.

**Keywords:** GLEAM, GRACE, Evapotranspiration, Gorganrud Basin, Penman-Monteith

**Article Type:** Research Article

### Acknowledgement

We would like to express our sincere gratitude to the University of Tehran for the financial and logistical supports. The authors acknowledge the assistance of the Iran Meteorological Organization in providing the necessary data for their work.

### Conflicts of interest

The authors of this article declared no conflict of interest regarding the authorship or publication of this article.

### Data Availability Statement:

The datasets are available upon a reasonable request to the corresponding author.

### Authors' contribution

Amirhosein Pirmoon: Writing - original draft preparation

Amirhosein Pirmoon: Resources, Software, Formal analysis and investigation

Nozar Ghahreman: Visualization, Supervision, Manuscript editing, Conceptualization, Methodology

\*Corresponding Author, E-mail: nghahreman@ut.ac.ir

Citation: Pirmoon, A. and Ghahreman, N. (2025). Evaluation of Actual Evapotranspiration Estimations of GLEAM Model and GRACE Satellite in the Gharehsu-Gorganrud basin. *Water and Soil Management and Modelling*, 5(2), 107 -123.  
doi: 10.22098/mmws.2024.15502.1482

Received: 24 July 2024, Received in revised form: 11 September 2024, Accepted: 11 September 2024, Published online: 22 June 2025

*Water and Soil Management and Modeling*, Year 2025, Vol. 5, No. 2, pp107-123.

Publisher: University of Mohaghegh Ardabili

© Author(s)





## مدل‌سازی و مدیریت آب و خاک



شایعه الکترونیکی: ۲۵۶-۲۷۸۳

# ارزیابی برآوردهای تبخیرتعرق واقعی مدل GLEAM و ماهواره GRACE در حوضه آبریز گرگان‌رود-قره‌سو

امیرحسین پیرمون<sup>۱</sup>، نوذر قهرمان<sup>۲\*</sup>

<sup>۱</sup> گروه مهندسی آبیاری و آبادانی، دانشکده کشاورزی، دانشگاه کشاورزی، دانشگاه تهران، کرج، ایران

<sup>۲</sup> گروه مهندسی آبیاری و آبادانی، دانشکده کشاورزی، دانشگاه کشاورزی و منابع طبیعی، دانشگاه تهران، کرج، ایران

### چکیده

این پژوهش با هدف مقایسه برآوردهای تبخیرتعرق مدل GLEAM و ماهواره GRACE در ۸ ایستگاه حوضه آبریز گرگان‌رود-قره‌سو با مقادیر حاصل از رابطه پمن مانتیث انجام شد. در این تحقیق، تبخیرتعرق واقعی محاسبه شده توسط مدل GLEAM و دادهای ماهواره‌ای GRACE برای چهار ماه گرم سال (مارس، آوریل، مه و ژوئن) که هم‌زمان با فصل کشت گندم است، در بازه زمانی ۲۰۱۶ تا ۲۰۱۸ با مقادیر حاصل از رابطه پمن مانتیث برای مناطق تحت کشت گندم مقایسه شد. شاخص آماری  $R^2$  بین برآوردهای رابطه پمن مانتیث فاوانو (FAO 56 PM) و دادهای مدل GLEAM برای ایستگاه‌های، رضوان، بندرترکمن، علی‌آبادکنول، گندکاووس، کلاله، گرگان، هاشم‌آباد و مینودشت به ترتیب برابر با ۰/۷۸، ۰/۴۹، ۰/۴۰، ۰/۵۴، ۰/۷۴، ۰/۴۶ و ۰/۶۹ به دست آمد که بالاترین همبستگی را ایستگاه رضوان داشت. همچنین ضریب تعیین مابین برآوردهای رابطه PM و دادهای ماهواره‌ای GRACE به ترتیب ۰/۶۲، ۰/۴۱، ۰/۴۵، ۰/۴۷، ۰/۴۱، ۰/۴۵، ۰/۴۰، ۰/۴۴، ۰/۵۴، ۰/۴۰ به دست آمد. شاخص آماری RMSE بین برآوردهای رابطه (PM) با مدل GLEAM برابر با ۰/۳۲، ۰/۴۲، ۰/۵۳، ۰/۵۹، ۰/۵۳، ۰/۷۷، ۰/۷۱، ۰/۵۱، ۰/۵۰، ۰/۴۲، ۰/۵۰، ۰/۴۱، ۰/۶۰، ۰/۵۳، ۰/۶۲، ۰/۹۱، ۰/۶۰، ۰/۵۷، ۰/۴۷ تعیین شد. نتایج نشان دادند که بالاترین همبستگی در ایستگاه رضوان و کمترین در ایستگاه کلاله وجود دارد. همچنین، همبستگی بین برآوردهای رابطه پمن مانتیث و دادهای ماهواره GRACE نشان داد که بهترین همبستگی در ایستگاه رضوان و کمترین تطابق در ایستگاه گندکاووس بوده است. تدقیق الگوهای کاربری اراضی و ارزیابی رهیافت‌های مبتنی بر سنجش از دور در سایر مناطق کشور توصیه می‌شود.

**واژه‌های کلیدی:** GRACE، GLEAM، تبخیرتعرق، حوضه گرگان‌رود، پمن مانتیث

نوع مقاله: پژوهشی

\* مسئول مکاتبات، پست الکترونیکی: Email: nghahreman@ut.ac.ir

استناد: پیرمون، امیرحسین، و قهرمان، نوذر (۱۴۰۴). ارزیابی برآوردهای تبخیرتعرق واقعی مدل GLEAM و ماهواره GRACE در حوضه آبریز گرگان‌رود-قره‌سو. مدل‌سازی و مدیریت آب و خاک. (۲)، ۱۰۷-۱۲۳. doi: 10.22098/mmws.2024.15502.1482



تاریخ دریافت: ۱۴۰۴/۰۵/۰۳، تاریخ بازنگری: ۱۴۰۴/۰۶/۲۱، تاریخ پذیرش: ۱۴۰۴/۰۶/۲۱، تاریخ انتشار: ۱۴۰۴/۰۵/۰۱

مدل‌سازی و مدیریت آب و خاک، سال ۱۴۰۴، دوره ۵، شماره ۲، صفحه ۱۰۷ تا ۱۲۳.

ناشر: دانشگاه محقق اردبیلی © نویسندهان

## ۱- مقدمه

منطقه نیمهخشک فلات مرکزی چین بر اساس داده‌های ماهواره‌ای GRACE برآورد کردند. در این مطالعه از داده‌های ماهواره‌ای Gravity GRACE برای تجزیه و تحلیل تعییرات در ورودی آب و بیزگی‌های ترازمندی آب استفاده شد. نتایج نشان داد کاربست این داده‌ها به طرز معناداری دقت برآوردها را بهبود می‌بخشد. (Pascolini-Campbell et al. 2020) حوضه‌ای کمیت تبخیرتعرق ۱۱ حوضه آبریز در آمریکا توسط چند مدل سطح زمین و محصولات ماهواره‌ای را با رهیافت موازنۀ جرم مبتنی بر داده‌های ماهواره‌ای GRACE مورد ارزیابی قراردادند، نتایج نشانگر فرابرآوردهی داده‌های ماهواره‌ای GRACE و در عین حال دقت قابل قبول آن بود.

(Abdizefzuli et al. 2020) برآوردهای تبخیرتعرق مدل جهانی GLEAM در شمال حوضه آبریز کرخه پرداختند. در این پژوهش، خروجی مدل GLEAM با استفاده از روش ترازمندی آب (با فرض بسته بودن حوضه) در ایستگاه‌های منتخب حوضه کرخه مقایسه شد و ضریب همبستگی میان این دو روش تعیین شد. شاخص‌های آماری بین مقادیر تبخیرتعرق به دست آمده از پایگاه‌داده‌های GLEAM و روش ترازمندی آب برای ایستگاه‌های آران غرب، پیر سلمان، نظرآباد، پل‌چهر، پای پل، پل دختر، تنگ سازین، و پل کشکان محاسبه شد. نتایج این تحقیق نشان داد که خروجی‌های مدل GLEAM، که عمدها بر پایه داده‌های ماهواره‌ای استوارند، برای حوضه کرخه مناسب بوده و می‌توانند در صورت عدم دسترسی به داده‌های مشاهده‌ای یا کمبود آن‌ها، به عنوان جایگزینی برای برآوردهای Gharehkhani حاصل از روش‌های تجربی و مرسوم به کار روند. (Faraji et al. 2020) مطالعه‌ای باهدف بررسی عدم قطعیت برآوردهای تبخیرتعرق واقعی (ETa) حاصل از یک مدل مبتنی بر سنجش از دور و دو پایگاه داده‌های اقلیمی انجام دادند. برای این منظور مقادیر حاصل از مدل پریستلی-تیلور و دو پایگاه داده ERA-Interim و ETa برای حوضه کرخه در دوره زمانی ۲۰۱۷-۲۰۱۳ تهیه شد. جهت تحلیل عدم قطعیت برای هر یاخته مکانی (با تفکیک  $0/25 \times 0/25$  درجه) در حوضه از روش TCH استفاده شد. نتایج تحلیل عدم قطعیت نشان داد که داده‌های ETERA-ETPT-JPL و ETGLEAM Interim با ترتیب در ۳۸، ۱۳ و ۴۹ درصد یاخته‌ها دارای عدم قطعیت کمتری هستند. در پژوهشی توسط (Chao et al. 2021) پنج پایگاه داده تبخیرتعرق شامل GLEAM، MTE، P-LSH، MADISS<sup>۱</sup>، PML با استفاده از برآوردهای GRACE و دیدبانی‌های زمینی ارزیابی شدند.

افزایش بهره‌وری آب در بخش کشاورزی بهویژه در شرایط گرمایش جهانی نیازمند تدقیق برآوردهای تبخیرتعرق است. تبخیرتعرق یکی از عوامل کلیدی در معادلات انرژی سطح زمین و توازن آب محسوب می‌شود و برآورد دقیق آن در زمینه‌های مختلف علمی از جمله هیدرولوژی، کشاورزی، مدیریت جنگل‌ها و مراتع و همچنین مدیریت منابع آب از اهمیت ویژه‌ای برخوردار است. مقدار این کمیت به میزان آب موجود در خاک و گیاه، عناصر اقلیمی، و نوع گیاه بستگی دارد که به صورت پیچیده‌ای بر یکدیگر اثر دارند. تخمین این کمیت به عنوان ابزاری برای برنامه‌بازی مدیریتی منابع آبی و تعیین نیاز آبی گیاهان اهمیت دارد. روش‌های سنجش از دور با توانایی به دست آوردن اطلاعات مستند بدون نیاز به تماس مستقیم با منطقه مورد مطالعه، به عنوان یک راه حل مناسب در برآورد تبخیرتعرق کاربرد وسیع و مؤثری دارند. با این حال، دقت اندازه‌گیری‌های سنجش از دور نسبت به روش‌های زمینی کمتر است و بهویژه در شرایطی که داده‌های مشاهداتی هواشناسی به طور کامل در دسترس نیستند، مدل‌های برآورد تبخیرتعرق ممکن است دچار خطاهای متعددی شوند و نیاز به واسنجی منطقه‌ای با استفاده از نتایج رهیافت‌های ترازمندی آب یا لایسیمتری دارند (Sattari et al., 2014). در نهایت، ترکیب داده‌های هواشناسی با اطلاعات سنجش از دور (نظیر تصاویر ماهواره‌ای) می‌تواند دقت این روش‌ها را بهبود بخشد. داده‌های ماهواره‌ای تبخیرتعرق از نظر ورودی مدل‌ها، پارامترسازی و الگوریتم‌ها تنوع دارند که این امر منجر به درجات مختلفی از عدم قطعیت می‌شود؛ بنابراین، انتخاب یک مجموعه داده خاص ماهواره‌ای که دقیقاً معرف شرایط اقلیمی منطقه مطالعاتی باشد؛ چالشی اساسی محسوب می‌شود و ضروری است که با استفاده از روش‌های معتبر و فیزیکی، قبل اتکایی داده‌ها مورد اعتبارسنجی قرار گیرد (Onnabi-Milani and Neyshabouri, 2018).

(Faraji et al. 2017) مطالعه‌ای باهدف ارزیابی داده‌های ماهواره‌ای GRACE در استان قزوین انجام دادند. در این مطالعه برای اعتبارسنجی داده‌های ماهواره‌ای GRACE از داده‌های مدل سطح زمین GLDAS و داده‌های مشاهداتی چاهها در منطقه GRACE استفاده شد. نتایج نشان می‌دهد داده‌های ماهواره‌ای به عنوان ماهواره‌ای ثقل‌سنج که فقط به منظور برآورد تعییرات ذخیره آب تولید شده است، برآورد خوبی از روند تعییرات ذخیره آب و همچنین تعییرات سطح آب زیرزمینی در اختیار کاربران قرار می‌دهد. (Sun et al. 2018) در پژوهشی تبخیرتعرق واقعی را در

<sup>۱</sup> MODIS

شرايط جغرافيايی متعدد معرفی می کند، که می تواند به بهبود مدیریت منابع و بهینه سازی مصرف آب در کشاورزی کمک شایانی کند. در پژوهش Talebi et al. (2023) استفاده از داده های سنجش از دور مانند تصاویر ماهواره ای لندست ۸ و مادیس برای تخمین تبخیرتعرق مرجع (ET0) در اقلیم های خشک و نیمه خشک به طور گسترده ای مورد توجه قرار گرفته است. این روش ها بدلیل پوشش وسیع و دقت زمانی بالا، می توانند جایگزین مناسبی برای روش های سنتی مبتنی بر داده های زمینی باشند. در این مطالعه، مدل های یادگیری ماشین از جمله جنگل تصادفی (RF) و پرسپکترون چندلایه (MLP) برای تخمین ET0 در ایستگاه های اهواز و تبریز با استفاده از داده های دمای سطح زمین (LST) و شاخص نرمال تفاوت پوشش گیاهی<sup>۴</sup> از تصاویر لندست ۸ و مادیس به کار گرفته شدند. نتایج نشان داد که این مدل ها عملکرد بهتری در مقایسه با روش های سنتی داشته و داده های مادیس بهویژه در مناطق نیمه خشک دقت بالاتری در برآورد ET0 دارند. این تحقیق تأیید می کند که ترکیب مدل های هوش مصنوعی با داده های سنجش از دور، ابزاری کارآمد برای مدیریت منابع آب در مناطق خشک و نیمه خشک ارائه می دهد.

با توجه به کمبود مطالعات پیشین با استفاده از دو رهیافت مورد استفاده در حوضه گرگان رود-قره سو و اهمیت تدقیق برآوردهای تبخیرتعرق، این پژوهش انتخاب و اجرا شد. اگرچه منطقه و ماه های موردنطالعه با تحقیق Pirmoon et al. (2023) یکسان است، اما مدل های استفاده شده در این پژوهش متفاوت هستند که این موضوع وجه تمایز اصلی پژوهش حاضر را تشکیل می دهد.

## ۲- مواد و روش ها

### ۲-۱- منطقه موردنطالعه

تحقیق حاضر در حوضه آبریز گرگان رود-قره سو صورت گرفته است. این حوضه به عنوان یک حوضه آبریز درجه دو محسوب می شود و زیرمجموعه حوضه آبریز دریای مازندران قرار دارد. مساحت این حوضه، ۱۳۰۶۱ کیلومترمربع و شامل دو رود قره سو و گرگان است. موقعیت قرارگیری حوضه را نشان می دهد.

داده های P-LSH و GLEAM هم خوانی خوبی با داده های بازسازی شده GRACE داشتند. داده های مادیس و MTE و RMSE بالاتری در مقیاس سالانه داشتند. این دو پایگاه داده به ترتیب دارای فرو برآورد و فرابرآورد بودند.

Hafezparast et al. (2022) مطالعه ای باهدف پایش تغییرات سطح آب زیرزمینی آبخوان میانراهن با داده های ماهواره ای GRACE انجام داده است. در این پژوهش با بررسی سطح آب چاه های مشاهداتی آبخوان میانراهن در حوضه جامیشان کرمانشاه در دوره ۲۰۰۲ تا ۲۰۲۰ و نیز پهنه بندی مکانی این تغییرات با به کارگیری روش کربجینگ در نرم افزار ArcGIS وضع موجود منطقه بررسی شد. نتایج نشان داد تعدادی از آبخوان ها از جمله حسن آباد-شیان و سنجابی و دینهور در شرایط بحرانی هستند.

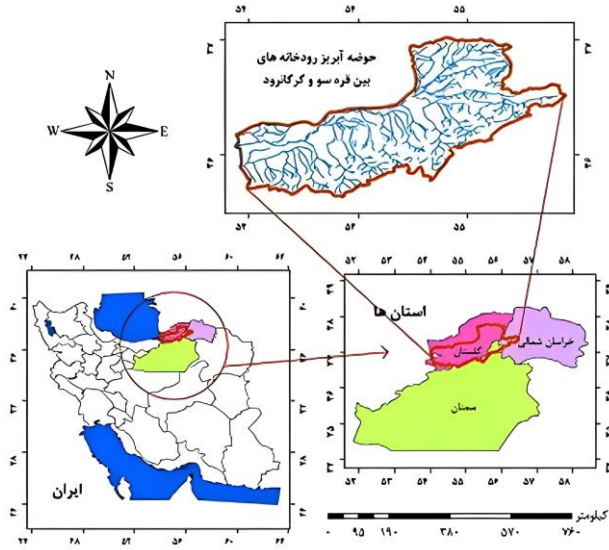
Pirmoon et al. (2023) در پژوهشی به قصد مقایسه تبخیرتعرق برآورد شده از ماهواره سنتینل ۲ با مقادیر متناظر از رابطه پنمن مانتیث فائو<sup>۱</sup> انجام شده است. پروژه Sen-ET توسط آژانس فضایی اروپا<sup>۲</sup> تأمین مالی شده و هدف اصلی این پروژه توسعه یک روش بهینه برای تخمین ET با دقت بالا در مقیاس فضایی کوچک (دها متر) با به کارگیری ترکیب اطلاعات ماهواره ای سنتینل ۲ و ۳ است. شاخص آماری R<sup>2</sup> بین تبخیرتعرق پنمن مانتیث فائو و داده های سنتینل ۲ برای ۸ ایستگاه حوضه گرگان رود - قره سو برای ۴ ماه گرم سال (مارس، آوریل، مه و ژوئن) در بازه زمانی ۲۰۱۸ تا ۲۰۱۶ مقایسه شد. با توجه به مقایسات انجام شده، بهترین همبستگی برای ایستگاه رضوان مشاهده شد، در حالی که ضعیف ترین همبستگی را ایستگاه گندکاووس داشت. در پایان، این مطالعه نشان می دهد که به کارگیری داده های ماهواره سنتینل ۲ در مقایسه با مدل پنمن مانتیث فائو، می تواند به عنوان یک روش دقیق و جایگزین برای تخمین تبخیرتعرق در حوضه آبخیز گرگان رود-قره سو استفاده شود. پژوهش Morshedi (2023) در دشت شهرکرد، با استفاده از الگوریتم سیال<sup>۳</sup> و تصاویر ماهواره ای لندست ۷ و ۸، نشان داد که میانگین تبخیرتعرق واقعی گل محمدی در دوره رشد حدود ۱۰۴۳/۸ میلی متر بوده است. این نتایج بر کارایی بالای سیال در تخمین نیاز آبی گیاهان تأکید دارد. مزایای سیال و نتایج مثبت به دست آمده از آن، الگوریتم سیال را به عنوان روشنی قابل اعتماد و کم هزینه برای تخمین تبخیرتعرق در

<sup>3</sup> SEBAL

<sup>4</sup> Normalized Difference Vegetation Index (NDVI)

<sup>1</sup> Penman-Monteith FAO-56

<sup>2</sup> ESA



شکل ۱- موقعیت حوضه گرگانرود-قره‌سو  
Figure 1- The Location of the Gharehsu-Gorganrud basin

گیاهی استفاده شد و سپس اطلاعات به دست آمده با اطلاعات آماری

دربافتی از سازمان جهاد کشاورزی سنجش و صحت‌سنجی شد.

در وهله اول از تصاویر لندست بادقت ۳۰ متر استفاده و شاخص پوشش گیاهی نرمال شده استخراج شده است. مقدار آن بین ۱ تا ۱۰۰٪ واقع می‌شود که مقادیر بالای ۱۰۰٪ نشان‌دهنده شروع پوشش گیاهی است و مقادیر منفی به میزان رطوبت و آب در منطقه اشاره می‌کند. با این روش و به کارگیری داده‌های سنجش از دور، می‌توان نتایج مناسبی را در مورد زمین‌های کشاورزی که گندم در آن‌ها کشت شده است، به دست آورد. البته باید توجه داشت که استفاده از داده‌های سنجش از دور ممکن است دارای خطاهای اندکی باشد که با صحت‌سنجی انجام شده به وسیله داده‌های زمینی می‌توان نتایج قابل قبولی را تولید کرد.

$$NDVI = \frac{(NIR - Red)}{(NIR + Red)} \quad (1)$$

در محیط گوگل ارث انجین، کد مربوط به استخراج شاخص پوشش گیاهی نوشته شده و با به کارگیری این کد، خروجی مربوط به شاخص پوشش گیاهی از تصاویر دریافت می‌شود. سپس با استفاده از دستور RECLASSIFY در نرم‌افزار GIS، این شاخص طبق بازه‌های معمول طبقه‌بندی می‌شود (جدول ۱).

با استفاده از این روش، می‌توان مقادیر شاخص پوشش گیاهی را به صورت علمی طبقه‌بندی کرد و نتایج دقیق‌تری در مورد پوشش گندم در زمین‌های کشاورزی دریافت کرد. این روش توانایی تحلیل دقیق‌تری در مورد پوشش گیاهی و تغییرات آن در زمان را فراهم می‌کند و می‌تواند به عنوان یک ابزار قدرتمند در تحقیقات مربوط به کشاورزی و مدیریت منابع طبیعی استفاده شود.

## ۲-۲- داده‌های مورد استفاده

در این پژوهش از سه دسته داده به شرح زیر استفاده شد.

(الف) از میان ایستگاه همدیدی موجود در حوضه گرگان‌رود-قره‌سو، داده‌های هواشناسی مربوط به ۸ ایستگاه از سازمان هواشناسی کشور دریافت شد. این داده‌ها شامل: میانگین دما، دمای حداقل، دمای حداکثر، رطوبت نسبی، بارندگی، سرعت باد و مجموع ساعت آفتابی هستند. جدول ۲ طول و عرض جغرافیایی هر یک ایستگاه‌ها را نشان می‌دهد.

(ب) تصاویر ماهواره لندست به شماره سین ۴۰، بادقت ۳۰ متر در تاریخ‌های مارس، آوریل، مه و ژوئن سال ۲۰۱۸

در این تحقیق از تصاویر ماهواره لندست ۸ از مجموعه Landsat Collection 2 Tier 1 Level 2 برای محاسبه شاخص NDVI و تحلیل تغییرات پوشش گیاهی استفاده شده است. تصاویر در بازه‌های ۳۲ روزه از مارس تا ژوئن ۲۰۱۸ ترکیب شده‌اند و شاخص NDVI از بازه‌های نزدیک به مادون‌قرمز و قرمز محاسبه شده است همچنین برای تحلیل‌های دقیق، تصحیحات رادیومتریک و اتمسفری انجام شده است.

(پ) اطلاعات آماری دریافتی از سازمان جهاد کشاورزی استان گلستان شامل فایل اکسل که دارای اطلاعات زمین‌های گندم است. این اطلاعات نشان‌دهنده مختصات نقاط X و Y موقعیت زمین در سیستم مختصات یوتی ام<sup>۱</sup> است. همچنین، مختصات جغرافیایی (عرض و طول جغرافیایی)، مساحت زمین، میزان برداشت و عملکرد گندم در سال ۱۳۹۶ نیز در این فایل ذکر شده است.

برای استخراج زمین‌های کشاورزی که گندم در آن‌ها کشت شده از سنجش از دور با استفاده از تناوب زراعی گیاه و شاخص پوشش

<sup>1</sup> UTM

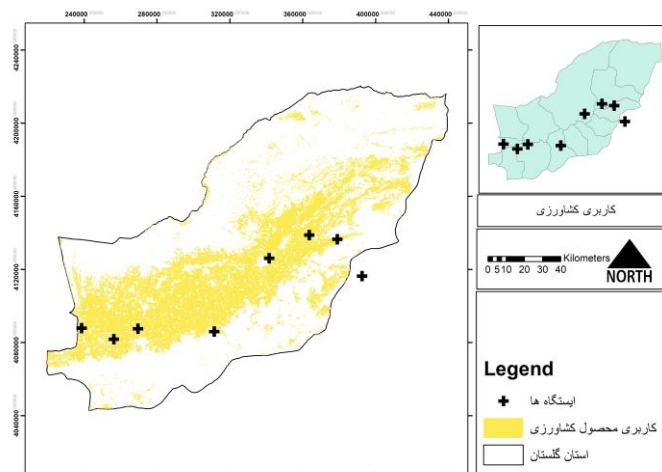
**جدول ۱- طبقه‌بندی NDVI**

Table 1- NDVI classification

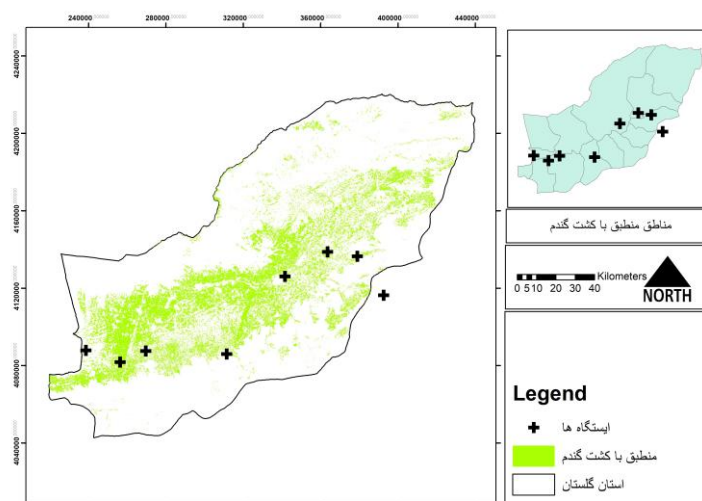
بازه	کلاس
۰ تا -۱	آب
۰.۱ تا ۰	خاک
۰.۲ تا ۰.۱	مرتع کم تراکم
۰.۳ تا ۰.۲	مرتع پر تراکم
۰.۴۵ تا ۰.۳	پوشش کشاورزی و علف
۱ تا ۰.۴۵	پوشش پر تراکم و جنگل

تعداد کلاس‌ها برای طبقه‌بندی از اهمیت بالایی برخوردار است و بدون شک، تعیین تعداد بهینه کلاس‌های طبیعی دارای اهمیت ویژه‌ای است. برای انجام طبقه‌بندی نظارت شده، از دستورات موجود در نرم‌افزار ENV استفاده و با توجه به مختصات جغرافیایی نقاط تعیین شده در مطالعات میدانی، این طبقه‌بندی صورت گرفت.

در این مرحله، از یک دیتای کاربردی با دقت ۱۰ متر از تصاویر ستینیل برای کاربری اراضی استفاده می‌شود. در این دیتا، مقدار ۴ نشان‌دهنده زمین‌های کشاورزی است (شکل ۲). در فرآیند طبقه‌بندی نظارت شده، از داده‌های حاصل از مطالعات میدانی و داده‌های زمینی موجود برای انجام طبقه‌بندی استفاده می‌شود. در این روش، انتخاب



**شکل ۲- شناسایی مناطق کشاورزی**  
Figure 2- Identifying agricultural areas



**شکل ۳- مکان تعیین شده اراضی کشت گندم**  
Figure 3- Locating the wheat farms

استفاده از این روش، می‌توان مناطقی که گندم در آن‌ها کشت شده است را بادقت بیشتری تعیین کرد.

مطمئن‌تری رسید. البته باید توجه داشت که وجود خطا در استخراج نتایج را نمی‌توان انکار کرد که سعی شد از طریق صحت سنجی با داده‌های زمینی آن را کاهش داد.

نتایج حاصل از شاخص پوشش گیاهی با استفاده از دستور CLIP به نتایج کاربری به دست‌آمده برش می‌خورد تا مناطقی که بیانگر زمین کشاورزی که گندم در آن کشت می‌شد مشخص شود (شکل ۳)، با استفاده از این شاخص‌ها، می‌توان بادقت مناسبی پوشش گیاهی را در مناطق مختلف تعیین و از آن برای استخراج اطلاعات مربوط به محصولات کشاورزی استفاده کرد. همچنین، تصاویر ماهواره‌ای بادقت بالای ۱۰ متر در تعیین کاربری‌های زمین، می‌توان به صحت نتایج

**جدول ۲- طول و عرض جغرافیایی ایستگاه‌های همدیدی منتخب**

Table 2- Longitude and latitude of synoptic stations in the study area

ردیف	نام ایستگاه	طول جغرافیایی (درجه)	عرض جغرافیایی (درجه)	میانگین بلندمدت دما (درجه سانتی‌گراد)	میانگین بلندمدت بارش (میلی‌متر)
1	رضوان	37.2	55.2	11.3	590.7
2	بندر ترکمن	36.9	54.0	18.3	454.5
3	علی‌آبادکش	37.1	55.7	16.0	607.6
4	کلاله	36.8	54.2	17.5	538.2
5	گرگان	37.3	55.4	15.4	531.8
6	گرگان هاشم‌آباد	36.9	54.4	15.6	520.5
7	گندکاووس	36.9	54.8	18.3	427.5
8	مینودشت	37.3	55.6	16.6	713.8

زمینی به دست آمده، در حالی که داده‌های بارندگی و عمق نوری گیاه به صورت ماهواره‌ای اندازه‌گیری شده‌اند.

#### GLEAM v 3.2b. ۲

داده‌های این مطالعه از سال ۲۰۰۳ تا ۲۰۲۳ موجود هستند و تمام پارامترهای آن‌ها از طریق روش‌های ماهواره‌ای استخراج و در قالب فایل‌های NetCDF ذخیره شده‌اند، به طوری که هر فایل به یک سال و یک متغیر اختصاص دارد.

#### GLEAM v 3.2a. ۱

با آغاز پروژه GRACE در سال ۲۰۰۲، مطالعه مسیرهای انتقال جرم در اطراف کره زمین وارد مرحله جدیدی شد. این پروژه با استفاده از داده‌های جاذبه‌سنگی ماهواره‌ای، اطلاعات دقیقی در مورد میزان حرکت جرم و تغییرات آن در طول زمان فراهم کرده است. هدف اولیه آن نظارت بر تغییرات جاذبه زمین در فاصله بین دو ماهواره حین چرخش آن‌ها به دور زمین یا به عبارتی تغییرات میدان گرانش زمین است. فضایی‌مای دنبال‌کننده در واقع حدود ۲۲۰ کیلومتر از فضایی‌مای اصلی فاصله دارد. GRACE با کار

#### ۱ GLEAM -۳-۲ مدل

مدل جهانی تبخیر از سطح زمین Amsterdam Model (GLEAM) به برآورد اجزای مختلف تبخیر تعرق بر اساس داده‌های مشاهدات ماهواره‌ای می‌پردازد (Martens et al., 2006). این اجزا شامل تعرق، برگاب، تبخیر از سطح خاک خشک<sup>۱</sup>، تصحیح برف<sup>۲</sup> و تبخیر از سطح آزاد آب است. خروجی این مدل شامل تبخیر تعرق پتانسیل، رطوبت خاک در ناحیه ریشه، رطوبت سطح خاک و تنش تبخیری<sup>۳</sup> است. تبخیر تعرق پتانسیل بر پایه مشاهدات تابش خالص<sup>۴</sup> و دما در نزدیکی سطح زمین<sup>۵</sup>، با استفاده از رابطه پرسنلی-تلیور محاسبه می‌شود. برای به دست آوردن تبخیر واقعی، شبکه‌های جغرافیایی با ابعاد با تنش تبخیری ضرب می‌شود. شبکه‌های جغرافیایی با ابعاد ماهانه، و سالانه در دسترس هستند. در مرکز پایگاه داده دو مجموعه داده موجود است که تفاوت آن‌ها به نوع و زمان داده‌های ورودی مربوط می‌شود. تفاوت آن‌ها، در زمان و نوع داده‌های ورودی مجموعه به شرح زیر است:

#### GLEAM v 3.2a. ۱

دوره آماری داده‌ها از سال ۱۹۸۰ تا ۲۰۲۳ و شامل داده‌هایی است که تبخیر تعرق، تابش خورشیدی و دما بر اساس اندازه‌گیری‌های

<sup>4</sup> Net Radiation

<sup>5</sup> Near-Surface Air Temperature

<sup>6</sup> Gravity Recovery and Climate Experiment

<sup>1</sup> Global Land Evaporation Amsterdam Model

<sup>2</sup> Snow Sublimation ( $E_s$ )

<sup>3</sup> Evaporative Stress (S)

ثابت سایکرومتری برحسب کیلوپاسکال برحسب درجه سانتی گراد است که با محاسبه این پارامترها، می‌توان مقدار تبخیرتعرق گیاه مرجع ( $ET_0$ ) را به میلی متر در روز به دست آورد. برای تبدیل تبخیرتعرق پتانسیل برآورده شده از رابطه پنمن مانیث فائق به تبخیرتعرق واقعی از ضریب گیاهی که در این مطالعه گندم است طبق رابطه ۵ استفاده شد.

$$ET_c = K_c \times ET_0 \quad (5)$$

که در آن:  $ET_c$  تبخیرتعرق گیاه برحسب میلی متر بر روز،  $K_c$  ضریب گیاه بدون واحد و  $ET_0$  تبخیرتعرق گیاه مرجع بر حسب میلی متر بر روز است. مقادیر اولیه  $K_c$  از نشریه فائق استخراج و ضمن مقایسه با مقادیر پیشنهاد شده محلی بر حسب اقلیم و روابط موجود در نشریه فائق ۵۶ اصلاح شد.

## ۶-۲- بررسی عملکرد محصولات ماهواره‌ای

برای ارزیابی محصولات ماهواره‌ای و مدل پنمن مانیث از شاخص‌های زیر استفاده شد. خطای جذر میانگین مربعات<sup>۳</sup> نشان‌دهنده اندازه میانگین انحراف معیار میان داده‌های مشاهده شده و پیش‌بینی شده توسط یک مدل آماری است. این معیار معمولاً برای اندازه‌گیری خطای مطلق میان دو توزیع استفاده می‌شود. معمولاً از  $RMSE$  نشان‌دهنده عملکرد بهتر مدل است.

$$RMSE = \sqrt{\frac{\sum_{i=1}^n (A_i - F_i)^2}{n}} \quad (6)$$

میانگین قدر مطلق خطای نشان‌دهنده میانگین انحراف مطلق بین داده‌های مشاهده شده و پیش‌بینی شده توسط مدل است. این معیار به عنوان یک اندازه دقیق از خطای مدل استفاده می‌شود. معمولاً از  $MAE$  تا  $RMSE$  متغیر بوده که مقادیر کوچک‌تر تطابق بهتر هستند.

$$MAE = \frac{\sum_{i=1}^n \left| \frac{A_i - F_i}{A_i} \right|}{n} \quad (7)$$

ضریب تعیین<sup>۴</sup> این ضریب بیانگر میزان تطابق بین داده‌های مشاهده شده و پیش‌بینی شده توسط یک مدل آماری است. ضریب تعیین معمولاً از  $0$  تا  $1$  متغیر بوده و از آن برای اندازه‌گیری عملکرد مدل استفاده می‌شود. عدد  $1$  نشان‌دهنده تطابق کامل بین داده‌های مشاهده شده و پیش‌بینی مدل است.

$$R^2 = \frac{(\sum_{i=1}^n (A_i - \bar{A})(F_i - \bar{F}))^2}{\sum_{i=1}^n (A_i - \bar{A})^2 \times \sum_{i=1}^n (F_i - \bar{F})^2} \quad (8)$$

مشترک میان ناسا<sup>۵</sup> و DLR ساخته و در ۱۷ مارس ۲۰۰۲ ایستگاه پلستیک در روسیه<sup>۶</sup> به فضا پرتاب شده است. (Mo et al., 2016) با تغییرات جاذبه زمین که ناشی از تغییرات کمیت و توزیع آب و آب‌های زیرزمینی، یخچال‌ها، و ریزش‌های جوی است، می‌توان تغییرات تبخیرتعرق واقعی را نیز به طور غیرمستقیم محاسبه کرد. تغییرات جاذبه زمین نشان‌دهنده تغییرات ذخیره آب زیرزمینی و سطحی در نقاط مختلف زمین است. هم‌چنین طبق ترازندهای آب که در رابطه (۲) ارائه شده است، محاسبه تبخیرتعرق واقعی، نیاز به داده‌های زمینی شامل بارش و رواناب دارد. این داده‌ها در کنار داده‌های ماهواره‌ای GRACE می‌توانند تبخیرتعرق واقعی در منطقه موردنظر را ارائه دهند. برای محاسبه تبخیرتعرق واقعی لازم است حوضه بسته فرض شود و مطابق رابطه (۳)، با داشتن متغیرهای بارش و رواناب و هم‌چنین  $\Delta S$  که ماهواره GRACE در اختیار می‌گذارد می‌توان تبخیرتعرق واقعی را محاسبه کرد.

$$P + Q_{in} = ET + \Delta S + Q_{out} + R_o \quad (2)$$

$$P - R_o - ET \pm \Delta S = 0 \quad (3)$$

که در آن،  $Q_{in}$  جریان ورودی،  $Q_{out}$  جریان خروجی،  $\Delta S$  میزان تغییرات موجودی آب در خاک و رسوبات،  $R_o$  میزان رواناب،  $ET$  تبخیرتعرق و  $P$  میزان بارندگی است که در یک بازه زمانی یکساله و یا بیشتر مورد بررسی قرار می‌گیرد.

## ۶-۳- رابطه پنمن مانیث فائق

برای محاسبه تبخیرتعرق مرجع با استفاده از رابطه پنمن مانیث فائق، از داده‌های مشاهداتی شامل میانگین دما، حداقل دما، حداقل دمای رطوبت نسبی، بارندگی، سرعت باد و ساعت آفتابی هستند.  $ET_0$  طبق رابطه (۴) محاسبه شد (Allen et al., 1998).

$$ET_0 = \frac{0.408\Delta(R_n - G) + \gamma \frac{900}{T + 273} U_2(e_s - e_a)}{\Delta + \gamma(1 + 0.34U_2)} \quad (4)$$

که در آن،  $ET_0$  تبخیرتعرق پتانسیل برحسب میلی متر بر روز،  $R_n$  تشعشع خالص در سطح گیاه برحسب مگاژول بر مترمربع بر ساعت،  $G$  چگالی شار حرارتی خاک برحسب مگاژول بر مترمربع بر روز،  $T$  متوسط درجه حرارت روزانه برحسب درجه سانتی گراد،  $U_2$  سرعت باد در ارتفاع دو متری برحسب متر بر ثانیه،  $e_s$  میانگین فشار بخار اشباع هوا در ارتفاع  $1/5$  تا  $2$  متری برحسب کیلوپاسکال،  $e_a$  میانگین فشار بخار اشباع واقعی هوا در ارتفاع  $1/5$  تا  $2$  متری برحسب کیلوپاسکال،  $\Delta$  شبیه منحنی فشار بخار اشباع در میانگین درجه حرارت برحسب کیلوپاسکال بر درجه سانتی گراد و

<sup>4</sup> Mean Absolute Error (MAE)

<sup>5</sup> Coefficient of Determination ( $R^2$ )

<sup>1</sup> National Aeronautics and Space Administration

<sup>2</sup> Plesetsk Cosmodrome, Russia

<sup>3</sup> Root Mean Square Error (RMSE)

### ۳- نتایج و بحث

#### ۱- برآورد تبخیرتعرق با استفاده از رابطه پنمن مانیث فائو

در پژوهش حاضر استفاده از داده‌های ۸ ایستگاه همدیدی در منطقه مورد مطالعه و متغیرهای مورداستفاده در رابطه پنمن مانیث فائو، محاسبات میزان تبخیرتعرق برآورد شده بر حسب میلی‌متر بر روز در بازه زمانی مورد مطالعه انجام شده که در جدول ۳ ارائه شده است. همچنین در جدول ۴ مقدار تبخیرتعرق واقعی برای ایستگاه رضوان آمده است.

میانگین درصد مطلق خطای نشان‌دهنده میزان دقت یک مدل در پیش‌بینی درصدی است. این معیار از میانگین درصد خطای مطلق بین داده‌های مشاهده شده و پیش‌بینی شده توسط مدل محاسبه می‌شود که در مقایسه با MAD و MSE میزان خطای بهتر نشان می‌دهد. معمولاً از  $+100$  تا  $-100$  متفاوت بوده که مقادیر کوچک‌تر MAPE دارای تطابق بهتری هستند.

$$MAPE = \frac{\sum_{i=1}^n \left| \frac{A_i - F_i}{A_i} \right|}{n} \times 100 \quad (9)$$

در معادلات فوق مقدار واقعی، مقدار برآورد شده و تعداد داده موجود است (Chicco et al., 2021).

**جدول ۳- تبخیرتعرق برآورد شده حاصل از رابطه پنمن مانیث فائو ایستگاه‌های حوضه بر حسب میلی‌متر بر روز**

Table 3- Actual evapotranspiration resulting from the FAO Penman-Monteith Equation of the study stations (mm/day)

سال	ایستگاه ماه	رضوان	بندرترکمن	علی‌آبادکول	کالله	گرگان	گرگان هاشم‌آباد	گندکاووس	مینودشت
2016	مارس	1.7	2.4	2.2	2.6	3.2	2.8	2.0	1.9
	آوریل	2.4	3.0	2.6	3.2	3.6	3.0	2.8	2.1
	مه	2.8	3.4	3.0	3.8	3.5	3.6	3.3	2.2
	ژوئن	3.2	3.9	3.6	4.3	3.5	3.9	3.9	3.0
	مارس	1.2	2.5	2.3	1.8	2.8	2.1	2.1	1.8
2017	آوریل	2.1	2.5	3.7	3.1	3.2	3.7	2.8	2.4
	مه	2.8	3.0	3.2	3.8	3.5	3.8	3.5	3.2
	ژوئن	3.1	3.8	3.9	3.5	3.6	3.9	3.3	3.0
	مارس	1.6	2.5	2.4	2.6	2.3	2.4	2.3	2.1
	آوریل	2.0	3.5	3.2	3.8	3.5	3.5	3.2	2.6
2018	ماه	2.6	3.2	3.6	3.7	3.5	3.6	3.2	2.7
	ژوئن	2.8	3.0	2.9	3.6	3.4	2.4	2.5	3.2
	مارس	1.7	2.4	2.2	2.6	2.8	2.4	2.4	2.5
	آوریل	2.4	3.2	3.0	3.8	3.5	3.0	3.0	2.9
	ژوئن	2.8	3.5	3.3	3.9	3.6	3.8	3.4	3.2

**جدول ۴- مقدار تبخیرتعرق واقعی بر حسب میلی‌متر بر روز برای ایستگاه رضوان**

Table 4- Actual Evapotranspiration value in millimeters per day (mm/day) of the Rezvan station

سال	ماه	فائو پنمن مانیث	GLEAM	GRACE
2016	مارس	1.7	1.9	2.0
	آوریل	2.4	2.1	2.0
	مه	2.8	2.6	2.6
	ژوئن	3.2	3.1	2.7
	مارس	1.2	1.5	1.6
2017	آوریل	2.1	2.0	2.2
	مه	2.8	2.5	2.3
	ژوئن	3.1	2.8	2.8
	مارس	1.6	1.5	1.6
	آوریل	2.1	2.0	2.2
2018	ماه	2.8	2.5	2.3
	ژوئن	3.1	2.8	2.8
	مارس	1.6	1.3	1.1
	آوریل	2.0	1.6	1.6
	مه	2.6	2.9	2.7

<sup>1</sup> Mean Absolute Percentage Error (MAPE)

از اختلاف آنها دارد، وجود این اختلاف می‌تواند به علت مقادیر ضریب گیاهی باشد.

**۳-۲- خروجی مدل GLEAM**  
نتایج بر اساس ایستگاه‌های موجود حوضه در جدول ۵، آورده شده است که در قیاس با داده‌های خروجی از مدل پنمن مانثیث نشان

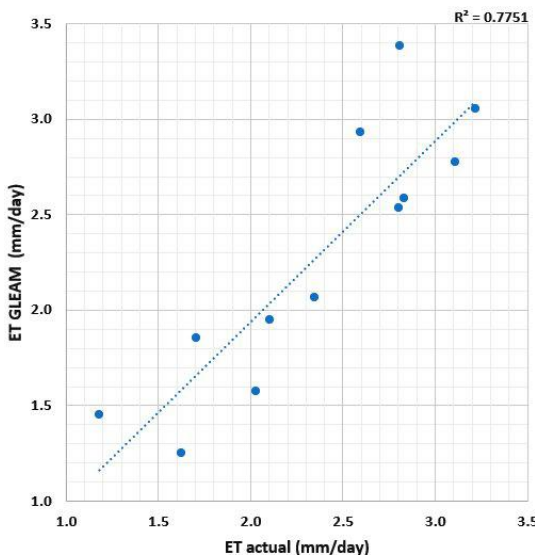
جدول ۵- تبخیرتعرق واقعی مدل GLEAM در ایستگاه‌های مطالعاتی (میلی‌متر در روز)

Table 5- Actual evapotranspiration of the GLEAM model at the study stations (mm/day)

سال	ماه	ایستگاه	ردیفون	بندرترکمن	علی‌آبادکوه	کلاله	گرگان	گرگان هاشم‌آباد	گندکاووس	مینودشت
2016	مارس		1.9	1.5	1.3	1.7	1.8	1.9	1.5	1.9
	آوریل		2.1	2.6	2.2	2.9	2.4	2.3	2.4	2.1
	مه		3.3	3.1	3.5	3.0	3.7	2.4	3.0	2.6
	ژوئن		3.2	2.8	3.7	3.2	3.1	2.9	3.0	3.1
	مارس		1.0	1.6	1.2	2.3	1.6	2.0	3.0	1.5
	آوریل		2.2	2.7	2.5	2.4	2.2	2.2	2.2	2.0
2017	مه		2.1	3.8	2.8	2.6	2.2	3.0	2.5	2.5
	ژوئن		3.1	3.1	2.6	2.8	3.7	3.4	3.3	2.8
	مارس		2.0	1.8	2.4	1.8	2.7	2.4	2.0	1.3
	آوریل		2.8	2.6	3.7	2.5	2.4	2.7	3.0	1.6
	مه		3.4	2.7	3.5	3.2	3.4	3.2	3.1	2.9
	ژوئن		2.6	2.6	3.0	2.5	3.2	3.4	3.0	3.4

داده شده، همان طورکه در شکل مشخص است مقدار  $R^2 = 0.77$  به دست آمده است.

شاخص آماری  $R^2$  بین تبخیرتعرق برآورده شده از رابطه پنمن مانثیث فائق و داده‌های مدل GLEAM برای ایستگاه‌های مختلف مقایسه شد که فقط برای یک ایستگاه رضوان در شکل ۴ نشان



شکل ۴- مقایسه تبخیرتعرق برآورده شده از داده‌های مدل GLEAM و رابطه پنمن مانثیث فائق برای ایستگاه رضوان

Figure 4- Comparison of estimated evapotranspiration from GLEAM model and FAO Penman-Monteith equation of the Rezvan station

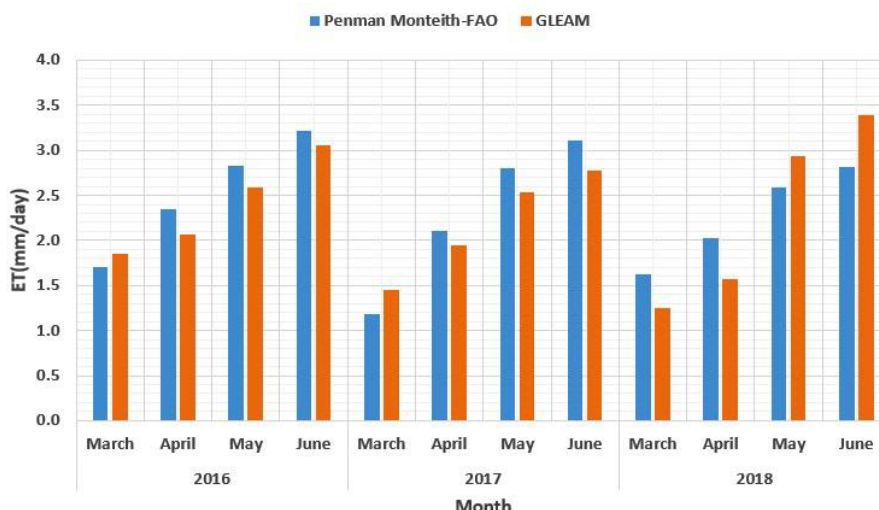
و رابطه پنمن مانثیث فائق در طول ماههای مختلف و در سه سال مورد بررسی (۲۰۱۶-۲۰۱۸) متفاوت هستند.

در برخی از ماهها مانند مارس و آوریل، مدل GLEAM مقادیر تبخیرتعرق پایین‌تری را نسبت به پنمن مانثیث فائق نشان می‌دهد. در مقابل، در ماههای دیگری مانند ژوئن، مقادیر GLEAM بیشتر

اعداد سایر شاخص‌های آماری GLEAM برای ایستگاه‌های مختلف به دست آورده که در جدول ۴ نشان داده شده است. شکل ۵ هم نمودار مقایسه مقادیر تبخیرتعرق محاسبه شده حاصل از مدل GLEAM و پنمن مانثیث فائق برای ایستگاه رضوان را نشان می‌دهد که مقادیر تبخیرتعرق برآورده شده توسط مدل GLEAM

ماهواره‌ای متکی است، در حالی که پنمن مانیث فائو بر اساس معادلات و داده‌های ورودی زمین محور است.

است. این تفاوت‌ها می‌توانند ناشی از تفاوت در روش‌های برآورد تبخیرتعرق در هر مدل باشد. مدل GLEAM به داده‌های



شکل ۵- مقایسه تغییرات تبخیرتعرق محاسبه شده حاصل از مدل GLEAM و پنمن مانیث فائو برای ایستگاه رضوان

Figure 5- Comparison of calculated evapotranspiration changes from GLEAM Model and FAO Penman-Monteith of the Rezvan station

همبستگی مربوط به ایستگاه کلاله با ارتفاع ۱۲۷ متر و الگوی کاربری اراضی غیرکشاورزی و دارای شاخص‌های آماری  $MAPE = ۱۸/۰۵$ ,  $R^2 = ۰/۴۹$ ,  $MAE = ۰/۶۰$ ,  $RMSE = ۰/۷۷$  است (جدول ۶).

طبق مقایسات انجام شده بین تبخیرتعرق برآورد شده از رابطه پنمن مانیث فائو و داده‌های مدل GLEAM بهترین همبستگی مربوط به ایستگاه رضوان با ارتفاع ۱۴۴۷ متر و الگوی کاربری اراضی کشاورزی و دارای شاخص‌های آماری  $MAPE = ۱۳/۶۷$ ,  $R^2 = ۰/۷۸$ ,  $MAE = ۰/۳۰$  و ضعیفترین

جدول ۶- شاخص‌های آماری مقایسه بین برآوردهای رابطه پنمن مانیث فائو و مدل GLEAM

Table 6- Statistical indices of comparison between FAO Penman-Monteith and GLEAM model estimations

مینودشت	گنبدکاووس	گرگان هاشم‌آباد	گرگان	کلاله	علی‌آبادکوه	بندرترکمن	رضوان	شاخص آماری
0.42	0.50	0.51	0.71	0.77	0.59	0.53	0.32	RMSE (mm/day)
0.36	0.43	0.45	0.62	0.60	0.46	0.49	0.30	MAE (mm/day)
0.69	0.46	0.74	0.54	0.49	0.40	0.41	0.78	$R^2$ (-)
16.08	17.09	16.65	19.41	18.05	14.64	16.67	13.67	MAPE (%)

این مدل‌ها با مقادیر واقعی تبخیرتعرق است. بررسی جزئی تر شرایط محیطی و استفاده از داده‌های میدانی بیشتر نیز ضروری است.

۳-۳- خروجی داده‌های ماهواره‌ای GRACE  
باتوجه به نکات ذکر شده، امکان محاسبه تبخیرتعرق در منطقه مورد مطالعه از طریق جمع و کسر مقادیر بارش و رواناب و همچنین با استفاده از داده‌های مربوط به ترازمندی آب در حوضه آبریز گرگان‌رود-قره‌سو وجود دارد. داده‌های ماهواره‌ای GRACE که به طور منطقی باید مشابه با داده‌های مدل GLEAM باشند، در

به طور کلی، نتایج نشان می‌دهند که تبخیرتعرق برآورد شده از رابطه پنمن مانیث فائو در مناطق با ارتفاع بالا و الگوی کاربری اراضی کشاورزی ممکن است بهتر عمل کند. این در حالی است که در مناطق با ارتفاع پایین و الگوی کاربری اراضی غیرکشاورزی، همبستگی این روش کم‌تر قابل اطمینان است. Gharehkhani et al. (2020) در مطالعه‌ای نشان دادند که مدل GLEAM در ارتفاع ۱۴۰۰ تا ۱۸۰۰ متر از سطح دریا و یاخته‌های با الگوی کاربری اراضی کشاورزی از عدم قطعیت کم‌تری برخوردار است. با این حال، برای نتیجه‌گیری قطعی‌تر، نیاز به مقایسه و ارزیابی مستقیم

ماهواره‌ای GRACE بر حسب میلی‌متر در روز، در بازه زمانی مورد نظر و بر اساس ایستگاه‌های حوضه، ارائه شده است.

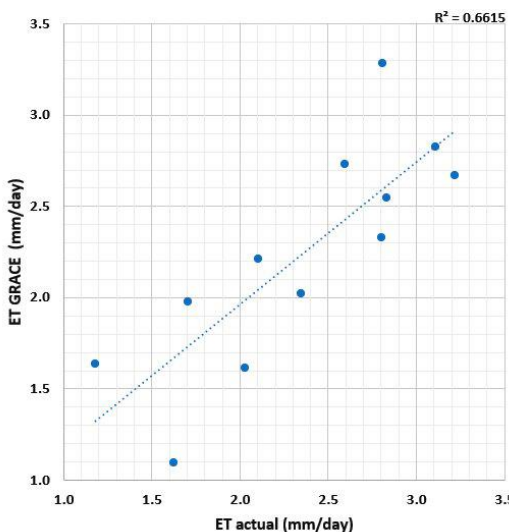
عمل نشان‌دهنده برآوردهای بالاتر از حد انتظار بودند. در این خصوص، جدول ۷ میزان تبخیرتعرق برآورده شده با استفاده از داده‌های

**جدول ۷- تبخیرتعرق واقعی برآورده شده با داده‌های ماهواره‌ای GRACE در ایستگاه‌های مطالعاتی**  
Table 7- Actual evapotranspiration estimated by GRACE satellite data at the study stations (mm/day)

مینودشت	گردکاووس	گرگان هاشم آباد	گرگان	کالله	علی‌آبادکوه	بندرترکمن	رضوان	ایستگاه ماه	
								سال	
2.0	1.1	1.7	1.6	2.0	2.0	1.7	2.0	مارس	2016
2.5	1.2	2.4	2.2	2.3	2.4	3.1	2.0		
3.2	2.8	2.9	2.9	2.8	2.5	3.2	2.6		
3.0	2.8	2.9	3.5	2.6	2.9	3.6	2.7		
1.4	1.4	1.6	2.5	1.8	2.9	2.1	1.6		
2.3	1.6	2.1	2.9	2.0	2.8	3.0	2.2		
2.8	2.6	3.0	3.0	2.9	2.9	2.2	2.3	مهر	2017
3.4	2.8	3.8	3.0	3.1	3.7	3.1	2.8		
2.2	1.5	2.5	2.3	1.4	1.7	2.2	1.1		
1.9	2.8	4.0	2.5	2.3	1.9	3.0	1.6		
3.3	2.8	3.8	3.6	3.8	2.6	3.0	2.7	مهر	2018
2.9	2.1	3.7	3.0	3.7	3.4	3.3	3.5		

و همچنین تلاش برای ریزمقیاس‌نمایی داده‌های GRACE به مقیاسی کوچک و محلی، کاهش مقدار شاخص آماری  $R^2$  می‌تواند ناشی از قدرت تفکیک مکانی پایین و ابعاد بزرگ پیکسل‌های ماهواره و احتمال بروز خطأ و پایین آمدن دقت در حین انجام ریزمقیاس‌نمایی باشد.

شاخص آماری  $R^2$  بین تبخیرتعرق برآورده شده از رابطه پمن مانتیث فائو و داده‌های ماهواره‌ای GRACE برای ایستگاه‌های مختلف مقایسه شد که فقط برای یک ایستگاه رضوان در شکل ۶ نشان داده شده است. همان‌طور که در شکل مشخص است مقدار نشان داده شده است. همان‌طور که در شکل مشخص است مقدار  $R^2 = 0.6615$  به دست آمده است. علی‌رغم وجود پوشش وسیع مکانی

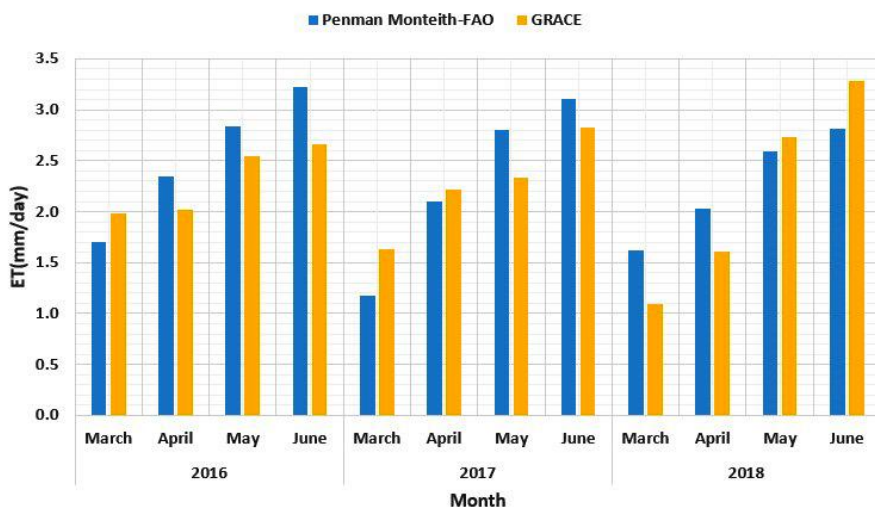


شکل ۶- مقایسه تبخیرتعرق برآورده شده از داده‌های ماهواره‌ای GRACE و رابطه پمن مانتیث فائو برای ایستگاه رضوان

Figure 6- Comparison of estimated evapotranspiration from FAO penman-monteith equation and grace satellite data of the Rezvan station

ارائه می‌دهند، در حالی که در ماههای دیگر (مانند مارس و آوریل) مقدادر کمتری را نشان می‌دهند. این تفاوت‌ها ممکن است به دلیل حساسیت بالای داده‌های GRACE به تغییرات جرم و آب در سطح زمین باشد که منجر به برآورد غیرمستقیم تبخیرتعرق می‌شود.

در شکل ۷، مقایسه مقدادر تبخیرتعرق برآورده شده توسط داده‌های ماهواره‌ای GRACE و رابطه پمن مانتیث فائو برای ایستگاه رضوان نشان می‌دهد که داده‌های GRACE در برخی از ماهها (مانند زوئن) مقدادر بالاتری را نسبت به پمن مانتیث فائو



شکل ۷- مقایسه تغییرات تبخیر تعرق محاسبه شده حاصل از داده‌های ماهواره‌ای GRACE و رابطه پنمن مانتیث فائق برای ایستگاه رضوان

Figure 7- Comparison of calculated evapotranspiration changes from GRACE and FAO Penman-Monteith satellite data of the Rezvan station

اعداد سایر شاخص‌های آماری داده‌های ماهواره‌ای GRACE برای ایستگاه‌های مختلف به دست آورده که در جدول ۸ نشان داده شده است.

جدول ۸- شاخص‌های آماری بین رابطه پنمن مانتیث فائق و داده‌های ماهواره‌ای GRACE

Table 8- Statistical indices between FAO Penman-Monteith and GRACE satellite data

مینودشت	گنبدکاووس	گرگان هاشم‌آباد	گرگان	کلاله	علی‌آبادکوه	بندرترکمن	رضوان	شاخص آماری
0.47	0.68	0.57	0.62	0.91	0.60	0.53	0.41	RMSE (mm/day)
0.43	0.62	0.52	0.54	0.77	0.54	0.46	0.38	MAE (mm/day)
0.54	0.44	0.50	0.35	0.45	0.41	0.37	0.66	$R^2$ (-)
18.64	24.97	17.25	17.23	23.17	17.99	16.13	17.46	MAPE (%)

توجهی کند. در مقابل، ایستگاه کلاله با ارتفاع ۱۲۷ متر و الگوی کاربری اراضی غیرکشاورزی، نتایج از دقت کمتری برخوردار بود. عوامل مختلفی مانند ارتفاع، میزان رطوبت هوا و نزدیکی به دریا که بر میزان تبخیر تعرق تأثیر دارند، لزوماً به صورت دقیق در تمام مدل‌های برآورده این کمیت لحاظ نمی‌شوند و بررسی‌های بیشتر حسب اقلیم مناطق در واسنجی و ارزیابی مدل‌ها ضروری است.

#### ۴- نتیجه‌گیری

استفاده از تصاویر ماهواره‌ای می‌تواند دید کلی و وسیعی را در رابطه با پدیده‌های سطح زمین به دست دهد. پژوهش حاضر باهدف ارزیابی و مقایسه برآوردهای تبخیر تعرق محصولات ماهواره‌ای GRACE و مدل GLEAM در حوضه آبخیز گرگان‌رود - قره‌سو در استان گلستان با نتایج روش پنمن مانتیث

طبق مقایسات انجام شده بین تبخیر تعرق برآورده از رابطه پنمن مانتیث فائق و داده‌های ماهواره‌ای GRACE بهترین همبستگی مربوط به ایستگاه رضوان با اقلیم خشک‌تر نسبت به سایر ایستگاه‌ها و دارای شاخص‌های آماری RMSE=۰/۴۱، MAE=۰/۶۶،  $R^2$ =۰/۴۶ و ضعیف‌ترین همبستگی مربوط به کلاله با ارتفاع ۱۲۷ متر و الگوی کاربری اراضی غیرکشاورزی و دارای شاخص‌های آماری RMSE=۰/۹۱، MAPE=۰/۱۷ و  $R^2$ =۰/۴۵، MAE=۰/۷۷ است.

همان‌طور که در مطالعه Chao et al. (2021) ذکر شده است برآورده داده‌های ماهواره‌ای GRACE به داده‌های مدل GLEAM نزدیک بوده و در منطقه‌ای نیمه‌خشک کارست این داده‌ها باعث افزایش دقت برآوردها شده است که اقلیم نسبتاً خشک‌تر ایستگاه رضوان می‌تواند نتایج بهتر در این ایستگاه را

### منابع

- پیرمون، امیرحسین، قهرمان، نوذر و قمقامی، مهدی (۱۴۰۲). مقایسه برآوردهای تبخیرتعرق حاصل از ماهواره-2 SENTINEL با معادله پنم مانیث در حوضه گرگان رود-قرهسو. آبیاری و زهکشی ایران، ۱۷(۶)، ۱۰۵۳-۱۰۶۲.
- حافظ پرست، مریم (۱۴۰۱). پایش سطح آب زیرزمینی با استفاده از ماهواره GRACE و GLDAS در استان کرمانشاه. نشریه علمی پژوهشی مهندسی آبیاری و آب ایران، ۱۲(۴)، ۲۳۴-۲۵۷. doi: 10.22125/iwe.2022.150736.
- ستاری، محمدتقی، احمدی فر، وحدت، و پاشاپور خلف انصار، رسول. (۱۳۹۳). مدل‌سازی تلفات تبخیر از مخزن سد علوبان با استفاده از مدل درختی M5 و مقایسه آن با روش‌های تجربی. مهندسی آبیاری و آب ایران، ۱۵(۱)، ۱۰۷-۱۲۱.
- شرکت مهندسی مشاور جاماب (۱۳۸۷). گزارش مطالعات حوزه آبخیز گرگان‌رود.
- طلالی، حامد، صمدیان‌فرد، سعید، و ولیزاده کامران، خلیل (۱۴۰۲). روش جدید مبتنی بر تصاویر ماهواره‌لنست ۸ و سنجنده مادیس برای تخمین تبخیر و تعرق مرجع ماهانه در دو اقلیم خشک و نیمه‌خشک. مدل‌سازی و مدیریت آب و خاک، ۳(۳)، ۱۸۰-۱۹۵. doi: 10.22098/mmws.2023.12048.1198
- عبدی دزفولی، امین، قهرمان، نوذر، و قمقامی، مهدی (۱۳۹۹). ارزیابی برآوردهای تبخیر-تعرق واقعی مدل جهانی (GLEAM) در شمال حوضه کرخه. آبیاری و زهکشی ایران، ۱۴(۲)، ۳۶۶-۳۷۸. dor: 20.1001.1.20087942.1399.14.2.2.7.
- عنابی میلانی، ازدر، و نیشابوری، محمدرضا (۱۳۹۷). مقایسه برخی روابط تجربی برآورد تبخیر-تعرق مرجع برای دشت تبریز با استفاده از لایسیمتر و ارائه مدلی برای تعیین آن از روی داده‌های هواشناسی. دانش آب و خاک، ۲۸(۱)، ۴۱-۵۴.
- فرجي، زهره، کاویانی، عباس، و اشرفزاده، افسفین (۱۳۹۶). ارزیابی داده‌های ماهواره GRACE در برآورد سطح آب زیرزمینی در استان قزوین. مجله اکوهیدرولوژی، ۳۶-۴۷، ۴(۲).
- قرهخانی، ابوذر، قهرمان، نوذر، و ایران‌نژاد، پرویز (۱۳۹۹). تحلیل عدم قطعیت برآوردهای ماهواره‌ای و مبتنی بر پایگاه داده‌های اقلیمی تبخیر-تعرق واقعی (مطالعه موردنی: حوضه کرخه). تحقیقات آب و خاک ایران، ۵(۵۱)، ۱۱۷۷-۱۱۹۳. doi: 10.22059/ijswr.2020.293401.668413.
- مرشی، علی (۱۴۰۲). برآورد تبخیر و تعرق واقعی و نیاز آبی گل محمدی (*Rosa damascena* Mill). با استفاده از الگوریتم سبال. مدل‌سازی و مدیریت آب و خاک، ۳(۳)، ۲۰-۳۶. doi: 10.22098/mmws.2022.11400.1127.

### References

- Abdidezfouli, A., Ghahreman, N., and Ghamghami, M. (2020). Evaluation of evapotranspiration estimations of GLEAM

فائق انجام شد. طبق شاخص‌های همبستگی استخراج شده بین تبخیرتعرق برآورد شده از رابطه پنم مانیث فائق و داده‌های مدل GLEAM بهترین همبستگی مربوط به ایستگاه رضوان با  $MAE=0.30$ ,  $RMSE=0.32$ ,  $MAPE=0.37$  و  $R^2=0.78$  و ضعیفترین همبستگی مربوط به ایستگاه کلاله با  $MAE=0.49$ ,  $RMSE=0.47$ ,  $MAPE=0.49$  و  $R^2=0.60$  است. همچنان این مقایسات بین تبخیرتعرق برآورد شده از رابطه پنم مانیث فائق و داده‌های ماهواره‌ای GNESS نشان داد که بهترین همبستگی مربوط به ایستگاه رضوان با  $MAE=0.38$ ,  $RMSE=0.41$ ,  $MAPE=0.46$  و  $R^2=0.66$  است. بررسی‌های Chao et al. (2021) نشان می‌دهد که مقدار داده‌های ماهواره‌ای GRACE در برخی موارد بیشتر از مقادیر محاسبه شده با استفاده از رابطه پنم مانیث فائق است؛ با این حال، این نتیجه ممکن است بسته به منطقه و شرایط محلی متفاوت باشد. تهیه نقشه‌های بروز شده کاربری اراضی در منطقه جهت تدقیق مقدار ضریب گیاهی و برآوردهای تبخیرتعرق واقعی جهت ارزیابی سایر مدل‌ها و محصولات ماهواره‌ای در این منطقه و سایر حوضه‌های آبریز کشور پیشنهاد می‌شود.

### سپاسگزاری

نویسندهای از حمایت مالی دانشگاه تهران در انجام این پژوهش و نیز سازمان هواشناسی کشور برای تامین داده‌های مورد نیاز قدردانی می‌نمایند.

### تضاد منافع نویسندهای

هیچ تضاد منافعی وجود ندارد  
دسترسی به داده‌ها  
همه اطلاعات و نتایج در متن مقاله ارائه شده است.

### مشارکت نویسندهای

امیر حسین پیرمون: انجام تحلیل‌های نرم‌افزاری اماری، تحلیل نتایج، تهیه نسخه اولیه مقاله  
نوذر قهرمان: راهنمایی، ویرایش و بازبینی مقاله، کنترل نتایج

model in northern part of Karkhe basin. Iranian Journal of Irrigation & Drainage, 14(2), 366-378.

dor: 20.1001.1.20087942.1399.14.2.2.7 [in Persian].

- Allen, R. G., Pereira, L. S., Raes, D., and Smith, M. (1998). FAO Irrigation and drainage paper No. 56. Food and Agriculture Organization of the United Nations. p.17.
- Chao, L., Zhang, K., Wang, J., Feng, J., and Zhang, M. (2021). A comprehensive evaluation of five evapotranspiration datasets based on ground and GRACE satellite observations: implications for improvement of evapotranspiration retrieval algorithm. *remote sensing*, 13(12), 2414. doi: 10.3390/rs13122414
- Chicco, D., Warrens, MJ and Jurman G. 2021. The coefficient of determination R-squared is more informative than SMAPE, MAE, MAPE, MSE and RMSE in regression analysis evaluation. *PeerJ Comput Sci. Jul 5;7: e623.* doi: 10.7717/peerj-cs.623
- Faraji, Z., Kaviani, A., and Ashrafzadeh, A. (2017). Assessment of GRACE satellite data for estimating the groundwater level changes in Qazvin province. *Iranian journal of Ecohydrology*, 4(2), 463-476. doi: 10.22059/ije.2017.61482. [in persian]
- Gharekhani, A., Ghahreman, N., and Irannejad, P. (2020). Uncertainty Analysis of Actual Evapotranspiration estimations using satellite data and climate databases (Case study: Karkheh basin). *Iranian Journal of Soil and Water Research*, 51(5), 1177-1193. doi: 10.22059/ijswr.2020.293401.668413. [in persian]
- Hafezparast, M. (2022). Monitoring of groundwater level changes using GRACE and GLDAS satellites in Kermanshah province. *Irrigation and Water Engineering*, 12(4), 234-257. doi: 10.22125/iwe.2022.150736. [in Persian]
- Jamab Consulting Engineering Co. (2008). Gorganrood watershed. [in persian]
- Martens, B., Miralles, D. G., Lievens, H., van der Schalie, R., de Jeu, R. A. M., Fernández-Prieto, D., Beck, H. E., Dorigo, W. A., and Verhoest, N. E. C.: GLEAM v3: satellite-based land evaporation and root-zone soil moisture, *Geosci. Model Dev.*, 10, 1903–1925, doi: 10.5194/gmd-10-1903-2017, 2017.
- Mo, X., Wu, J. J., Wang, Q., and Zhou, H. (2016) Variations in water storage in China over recent decades from GRACE observations and GLDAS, *Nat. Hazards Earth Syst. Sci.*, 16, 469–482, doi: 10.5194/nhess-16-469-2016.
- Morshedi, A. (2023). Estimation of actual evapotranspiration and water requirement of rose (*Rosa damascena* Mill.) using SEBAL algorithm. *Water and Soil Management and Modelling*, 3(3), 20-36. doi: 10.22098/mmws.2022.11400.1127. [in persian]
- Onnabi-Milani, A., and Neyshabouri, M. (2018). Comparison of some empirical estimating methods of reference evapotranspiration in Tabriz Plain using lysimeter and proposing a model for its determination from climatic data. *Water and Soil Science*, 28(1), 41-54. [in persian]
- Pascolini - Campbell, M., Reager, J., and Fisher, J. (2020). GRACE - based mass conservation as a validation target for basin - scale evapotranspiration in the contiguous United States. *Water Resources Research*, 56. doi: 10.1029/2019WR026594.
- Pirmoon, A., Ghahreman, N., & Ghamghami, M. (2023). Comparison of evapotranspiration estimations of SENTINEL-2 Satellite and Penman-Monteith equation in Gorganrood-Gharehsoo basin. *Iranian Journal of Irrigation & Drainage*. [in persian]
- Sattari, M. T., Ahmadifar, V., and Pashapour Kholf Ansar, R. (2014). M5 Tree model-based modeling of evaporation losses in eleviyan reservoir and comparison with empirical equations. *Irrigation and Water Engineering*, 5(1), 107-121. [in persian]
- Sun, M., Dong, Q., Jiao, M., Zhao, X., Gao, X., Wu, P., and Wang, A. (2018). Estimation of actual evapotranspiration in a semiarid region based on GRACE Gravity satellite data—A case study in Loess Plateau. *Remote Sensing*, 10(12), 2032. doi: 10.3390/rs10122032.
- Talebi, H., Samadianfard, S., & Valizadeh Kamran, K. (2023). A novel method based on Landsat 8 and MODIS satellite images to estimate monthly reference evapotranspiration in arid and semi-arid climates. *Water and Soil Management and Modelling*, 3(3), 180-195. doi: 10.22098/mmws.2023.12048.1198 .[in persian]